

3.5.3.2. Черная дыра в рамках представлений Алсигны

Начнем с рассмотрения самой простой модели черной дыры, основанной на анализе метрики Шварцшильда (3.5.19)

$$ds^2 = \left(1 - \frac{r_g}{r}\right) c^2 dt^2 - \frac{dr^2}{\left(1 - \frac{r_g}{r}\right)} - r^2 (d\theta^2 + \sin^2 \theta d\varphi^2), \quad (3.5.38)$$

где

$$r_g = 2m_3 G / c^2 \quad (3.5.39)$$

– гравитационный радиус Звезды (или Планеты) с массой m_3 .

По мнению Оппенгеймера и его сотрудников, черной дырой можно назвать такое космическое тело, у которого вся его масса m_3 сконцентрирована в сферическом объеме с радиусом r_b (рис. 3.5.7) меньшим, чем его гравитационный радиус ($r_b < r_g$).

В рамках Алсигны одной метрике Шварцшильда (3.5.38) соответствует совокупность четырех (H'VHI) упрощенных метрик (3.2.38a) – (3.2.38r):

$$\text{I} \quad ds^{(-b)^2} = \left(1 - \frac{r_{31}}{r}\right) c^2 dt^2 - \frac{dr^2}{\left(1 - \frac{r_{31}}{r}\right)} - r^2 (d\theta^2 + \sin^2 \theta d\varphi^2), \quad (3.5.40)$$

$$\text{H} \quad ds^{(-a)^2} = \left(1 + \frac{r_{32}}{r}\right) c^2 dt^2 - \frac{dr^2}{\left(1 + \frac{r_{32}}{r}\right)} - r^2 (d\theta^2 + \sin^2 \theta d\varphi^2), \quad (3.5.41)$$

$$\text{V} \quad ds^{(+d)^2} = -\left(1 - \frac{r_{33}}{r}\right) c^2 dt^2 + \frac{dr^2}{\left(1 - \frac{r_{33}}{r}\right)} + r^2 (d\theta^2 + \sin^2 \theta d\varphi^2), \quad (3.5.42)$$

$$\text{H}' \quad ds^{(+c)^2} = -\left(1 + \frac{r_{34}}{r}\right) c^2 dt^2 + \frac{dr^2}{\left(1 + \frac{r_{34}}{r}\right)} + r^2 (d\theta^2 + \sin^2 \theta d\varphi^2), \quad (3.5.43)$$

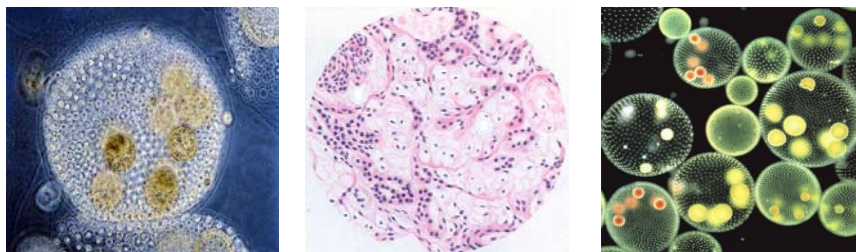
где радиусы ракий $r_{31}, r_{32}, r_{33}, r_{34}$ не равны друг другу и соответствуют гравитационному радиусу решения Шварцшильда (3.5.39)

$$r_{31} \approx r_{32} \approx r_{33} \approx r_{34} \cong r_g.$$

Несмотря на то что метрика (3.5.38) и совокупность метрик (3.5.40) – (3.5.43) вытекают из решений одного и того же вакуумного уравнения Эйнштейна (3.1.40), тем не менее, между ними имеется несколько принципиальных отличий.

1) Начнем с того, что в рамках релятивистской теории гравитации, являющейся одной из интерпретаций ОТО Эйнштейна, кривизна пространственно-временного континуума, описываемая метрикой Шварцшильда (3.5.38), обусловлена присутствием массивного тела сферической формы. То есть в рамках ОТО именно космическое тело с массой m_s является причиной искривления окружающей его области пространства-времени.

Алгебра сигнатур основана на принципиально иных воззрениях. Во-первых, Алсигна пытается вообще обойтись без темного понятия «масса» (см. гл. 2.7 в зеленой Алсигне [9]). Во-вторых, причина кривизны протяженности Естества в Алсигне носит глобальный (Вселенский) характер. В представлении Алсигны наш план Бытия представляет собой дискретный ряд (иерархию) вложенных друг в друга «пузырей». Вселенная (т. е. самый большой «Пузырь», доступный для нашего наблюдения) содержит внутри себя множество метагалактических «пузырей», которые, в свою очередь, содержат «пузыри» (гало) галактического масштаба, внутри которых имеется миллиарды звездных и планетарных «пузырей», которые содержат последовательности совокупностей бактериальных, молекулярных, атомных, кварковых и еще более мелких «пузырей».



Последовательность бактериальных «пузырей»

Вся эта матрешкообразная «конструкция» является единым, взаимосвязанным Организмом, Вращиваемым по Единым Принципам и Алгоритмам. Причины существования Иерархии «пузырей» (суть Материнских Утроб, в которых вызревают эмбрионы, т. е. более мелкие «утробы», см. рис. 3.5.12) выходят за рамки рассмотрения данной (голубой) части Алсигны. Если Позволит Б-Г, они будут рассмотрены в последующей (синей) части Алгебры сигнатур «Космогония» (следите за www.alsignat.narod.ru).

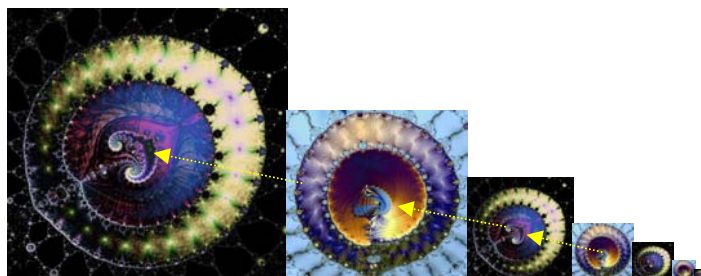


Рис. 3.5.12. Иерархия вложенных друг в друга Материнских Утроб. Согласно Внутренней ТОРЫ (еврейской Каббалы) «разбиение Сосудов» на множество более и более мелких «осколков» – это результат Грандиозной КАТАСТРОФЫ, отчасти связанной с Грехопадением Первого ЧЕЛОВЕКА. В лурианской Каббале эта КАТАСТРОФА называется Цимцум \aleph (алеф) (Первое СЖАТИЕ)

Выделение Звезд и Планет из всего Конгломерата вложенных друг в друга компактных Живых Существей возможно только в результате грубых математических приближений, которые обсуждались в гл. 3.2 настоящего исследования. В частности, совокупность метрик (3.5.40) – (3.5.43) является результатом упрощения уравнения (3.1.43) и пренебрежения влиянием размеров Вселенной R_v на кривизну околосредного (или околосолнечного) пространства, описываемого совокупностью четырех метрик (3.2.36а) – (3.2.36г) [или (3.2.24) – (3.2.27)].



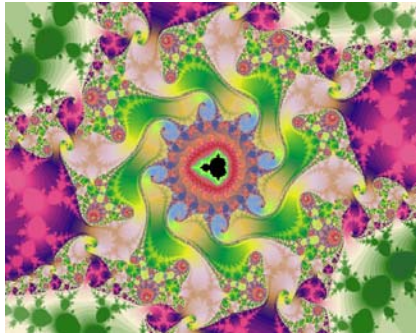
<http://walled.ru/>



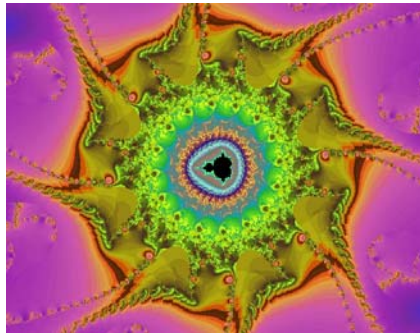
<http://dreamworlds.ru/>

2) В метрике Шварцшильда (3.5.38) гравитационный радиус звезды r_g зависит от ее массы m_s [см. (3.5.39)]. Тогда как в метриках (3.5.40) – (3.5.43) радиусы 4-х ракий (оболочек) $r_{31} \approx r_{32} \approx r_{33} \approx r_{34}$, окружающих ядро голой «звезды», обусловлены всеобщим квантованием Вселенной на Иерархию вложенных друг в друга Материнских Утроб («пузырей»).

Четыре ракии с радиусами $r_{31} \approx r_{32} \approx r_{33} \approx r_{34}$ – это производные от 4-х уровней масаха (экрана), окружающего бхинот далет после цимциум алеф.



<http://sprott.physics.wisc.edu/>



<http://sprott.physics.wisc.edu/>

Переливание 4-х ракий вокруг ядер Звезды и Планеты

В силу множества причин (*щедрости* или *скупости*, *милости* или *депотизма*, *сдержанности* или *агрессивности* и т. д.), а так же в зависимости от возраста (т. е. от этапов развития звездно-планетарных Парцуфов) Звезды и Планеты могут иметь различные не равные друг другу радиусы ракий

$$r_{31}^H > r_{32}^V > r_{33}^H > r_{34}^I, \tag{3.5.44}$$

в некотором дозволенном Иерархией и Провидением диапазоне значений.

У Звезд (так же как и у Планет) в зависимости от мгновенного состояния Их *кашеюта* (силы Желания Отдавать) и *авиюта* (силы Желания Получать) может быть 12 дозволенных комбинаций отношений радиусов ракий (3.5.44):

- И N V H V I H H H I V H
- I H N V V H I H H I H V
- I V H H V H H I H H I V
- H V I H H H V I H V H I,



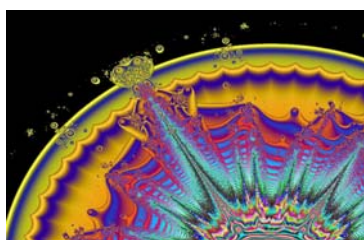
переливающимися в некой сложной связи с изменениями вселенского Влияния $24 : 2 = 12$ -ти комбинаций Букв непроизносимого Имени ТВОРЦА {см. (0.49) в [6]}.

Если бы эти радиусы четырех ракий были равны ($r_{31} = r_{32} = r_{33} = r_{34}$), то согласно (3.5.40) – (3.5.43) суммарная (усредненная) метрика оказалась бы равной нулю

$$ds^{(abc)^2} = \frac{1}{4} (ds^{(-a)^2} + ds^{(-b)^2} + ds^{(+d)^2} + ds^{(+c)^2}) = 0. \quad (3.5.45)$$

Все внешние проявления такого объекта должны исчезнуть из поля зрения стороннего наблюдателя.

Логика Иерархической архитектуры Мироздания диктует необходимость рождения всех ядер «молекул», «атомов» и элементарных «частиц» в недрах голых «звезд» и «планет». Но в силу различных внутриутробных процессов ядра Звезд и Планет могут разрываться и извергать огромное количество «атомов» и «молекул» в открытый Космос.

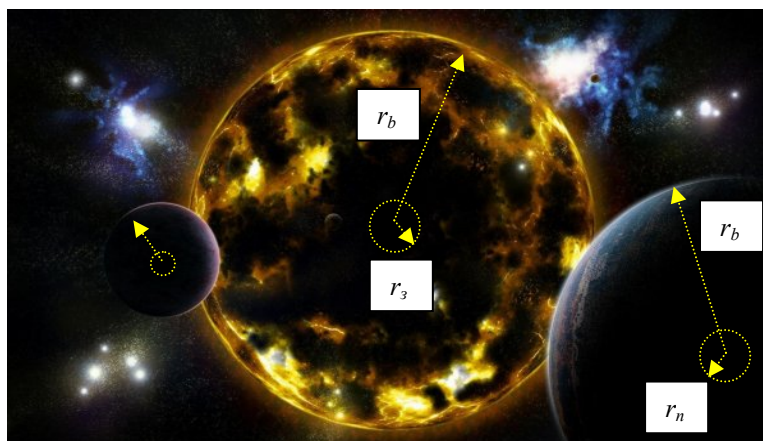


<http://sprott.physics.wisc.edu/>



<http://walled.ru/>

С другой стороны, Звезды и Планеты, научившиеся соизмерять свои Желания и Возможности, собрали в своих внешних оболочках разбросанные по Космосу «атомы» и «молекулы» посредством *субконт - антисубконт* токов, в среднем устремленных к ракиям этих космических Тел (см. рис. 3.5.13).



www.biglan.net

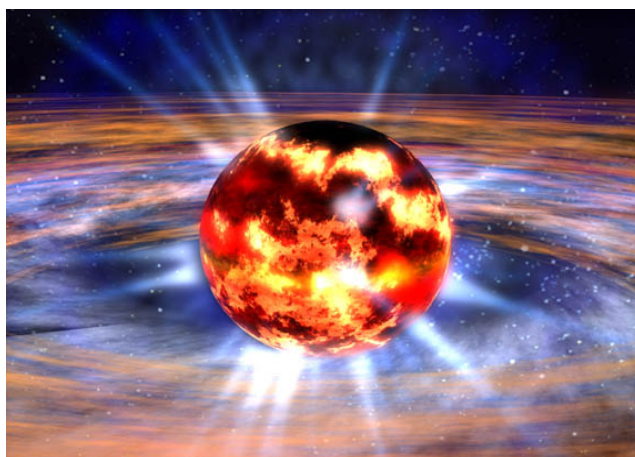
Рис. 3.5.13. Атомистические среды с радиусами r_b окутывают ядро голых «звезд» с радиусом r_z и ядро голых «планет» с радиусом r_n

Механизм тяготения привел к тому, что вокруг ядер голых «звезд» и «планет» скопились атомистические среды (рис. 3.5.13). Радиус объема, занимаемого такой средой r_b , зависит от величины радиусов голой «звезды» $r_{31} \neq r_{32} \neq r_{33} \neq r_{34}$ и их соотношений (или радиусов голой «планеты» $r_{n1} \neq r_{n2} \neq r_{n3} \neq r_{n4}$). Другими словами, размеры атомистических оболочек Звезд и Планет – это результат баланса между притекающими к их голым ядрам *субконт* - *антисубконтных* токов. Это подобно средним размерам, например, человека, которые зависят от его врожденных качеств и от обмена веществ (т. е. от того, сколько человек потребляет и выделяет).



<http://www.beseder.co.il/>

Фрагмент рисунка Леонардо да Винчи. Зрелый человеческий эмбрион собран в комок, сходный с шарообразной Планетой



<http://www.astrored.org/>

3) Современная физика полагает наиболее правдоподобной гипотезу о том, что главным источником энергии Звезд являются термоядерные реакции (синтез различных изотопов атомов гелия и трития из атомов водорода и дейтерия). Алсигна не исключает возможность протекания таких реакций в недрах Звезд, но в рамках представлений Алсигны (основанных на сообщении В. А. Лебедева) термоядерный синтез является источником только 60 – 70% внутренней энергии Звезд и Планет. Остальные 40 ÷ 30% , выделяемого космическими Телами тепла и света, связаны с другими источниками энергии, в т. ч. и с вращением околоядерных эргосфер.

В самом деле, при более детальном рассмотрении необходимо учитывать, что внешняя оболочка голой «звезды» (или «планеты») вращается вокруг ее спинирующего ядра. В этом случае она описывается обобщенными метриками Керра – Ньюмана (3.2.106). Анализ данной совокупности метрик отчасти был проведен в гл. 2.5 зеленой Алсигны [9]. Из этого анализа следует, что в эргосферах, окружающих ядро голой «звезды» (или «планеты»), должны протекать чрезвычайно сложные *субконт - антисубконтные* процессы: спиральные вращения и завихрения (см. рис. 3.5.14).



<http://photo.starnet.ru/>



<http://photo.starnet.ru/>

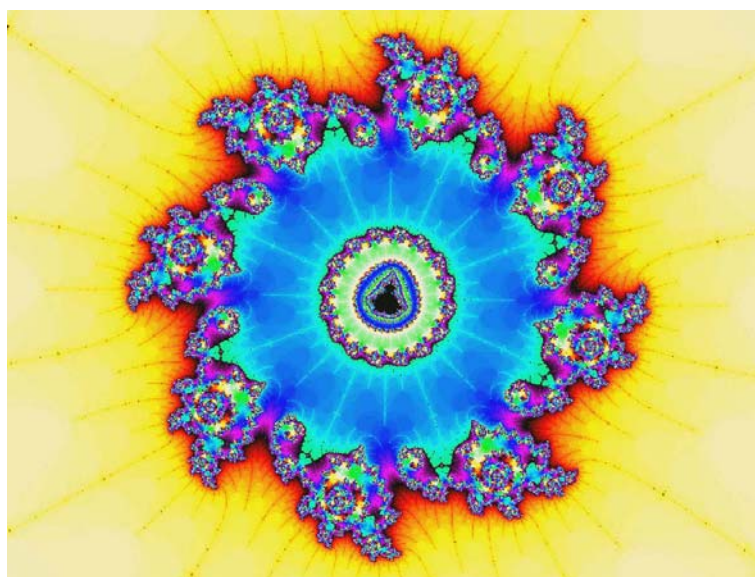


www.fractal-recursions.com

Рис. 3.5.14. Фрактальные иллюстрации чрезвычайно сложно переплетенных внутривакуумных *субконт-антисубконтных* завихрений возле ракий, окружающих ядро голой «звезды» или «планеты»



<http://photo.starnet.ru/>

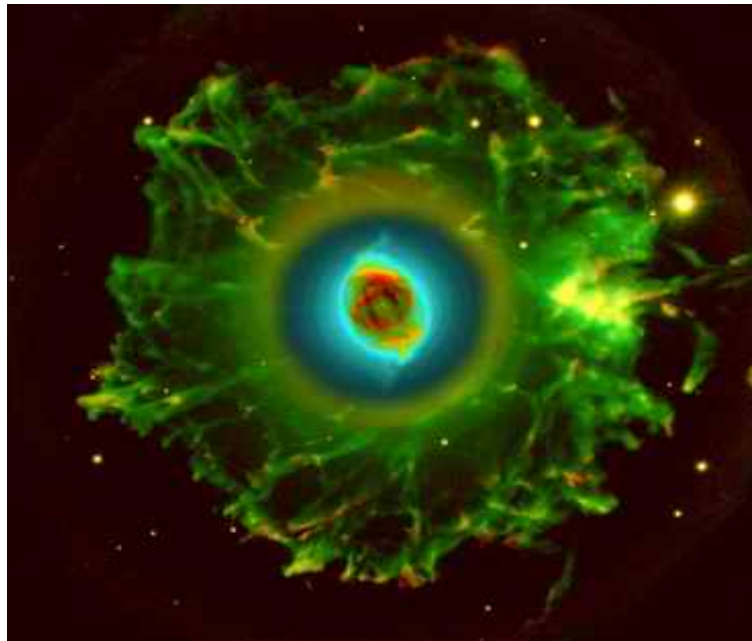


<http://photo.starnet.ru/>

Иллюстрации ракий (многослойных, сложно переплетенных оболочек),
огибающих ядро голой «звезды» или «планеты»

Алсигна полагает, что сложнейшее перемешивание *субконт - антисубконтных* токов вокруг ядра голой «звезды» (или «планеты») является одним из источников разогрева атомистических недр Звезды (или Планеты).

На наш взгляд, чтобы понять, что происходит в недрах Звезд и Планет очень полезно изучить сложнейшие обменные процессы, протекающие вокруг ядра живой биологической Клетки. Есть много оснований предполагать, что эти явления аналогичны.



www.biglan.net

Попробуйте догадаться: это снимок Звезды или биологической Клетки?

4) «Черная дыра», в том понимании, которое вкладывается в это понятие в рамках ОТО, в Алгебре сигнатур существовать не может. Это очевидно просто потому, что Алсигна учитывает обменные процессы, описываемые не одной метрикой Шварцшильда (3.5.19) или в более сложном случае одной метрикой Керра – Ньюмена (3.5.30), а соответственно четырьмя обобщенными метриками Шварцшильда (3.5.40 – (3.5.43) или в более приближенном к реальности случае четырьмя обобщенными метриками Керра – Ньюмена (3.2.106):

$$\begin{aligned}
ds_1^{(-a)2} &= \left(1 - \frac{r_{31}r}{\rho^{(-a)2}}\right) c^2 dt^2 - \frac{\rho^{(-a)2} dr^2}{\Delta^{(-a)}} - \rho^{(-a)2} d\theta^2 - \left(r^2 + a_1^2 + \frac{r_{31}ra_1^2}{\rho^{(-a)2}} \sin^2 \theta\right) \sin^2 \theta d\varphi^2 + \\
&\quad + \frac{2r_{31}ra_1}{\rho^{(-a)2}} \sin^2 \theta d\varphi c dt, \\
ds_2^{(-b)2} &= \left(1 + \frac{r_{32}r}{\rho^{(-b)2}}\right) c^2 dt^2 - \frac{\rho^{(-b)2} dr^2}{\Delta^{(-b)}} - \rho^{(-b)2} d\theta^2 - \left(r^2 + a_2^2 - \frac{r_{32}ra_2^2}{\rho^{(-b)2}} \sin^2 \theta\right) \sin^2 \theta d\varphi^2 - \\
&\quad - \frac{2r_{32}ra_2}{\rho^{(-b)2}} \sin^2 \theta d\varphi c dt, \\
ds_3^{(+c)2} &= \left(1 - \frac{r_{33}r}{\rho^{(+c)2}}\right) c^2 dt^2 + \frac{\rho^{(+c)2} dr^2}{\Delta^{(+c)}} + \rho^{(+c)2} d\theta^2 + \left(r^2 + a_3^2 + \frac{r_{33}ra_3^2}{\rho^{(+c)2}} \sin^2 \theta\right) \sin^2 \theta d\varphi^2 - \\
&\quad - \frac{2r_{33}ra_3}{\rho^{(+c)2}} \sin^2 \theta d\varphi c dt, \\
ds_4^{(+d)2} &= \left(1 + \frac{r_{34}r}{\rho^{(+d)2}}\right) c^2 dt^2 + \frac{\rho^{(+d)2} dr^2}{\Delta^{(+d)}} + \rho^{(+d)2} d\theta^2 + \left(r^2 + a_4^2 - \frac{r_{34}ra_4^2}{\rho^{(+d)2}} \sin^2 \theta\right) \sin^2 \theta d\varphi^2 + \\
&\quad + \frac{2r_{34}ra_4}{\rho^{(+d)2}} \sin^2 \theta d\varphi c dt,
\end{aligned}$$

где

$$\begin{aligned}
\rho^{(-a)2} &= r^2 + a_1^2 \cos^2 \theta, & \Delta^{(-a)} &= r^2 + a_1^2 - r_{31}r + r_{Q1}^2, \\
\rho^{(-b)2} &= r^2 + a_2^2 \cos^2 \theta, & \Delta^{(-b)} &= r^2 + a_2^2 + r_{32}r - r_{Q2}^2, \\
\rho^{(+c)2} &= r^2 + a_3^2 \cos^2 \theta, & \Delta^{(+c)} &= r^2 + a_3^2 - r_{33}r + r_{Q3}^2, \\
\rho^{(+d)2} &= r^2 + a_4^2 \cos^2 \theta, & \Delta^{(+d)} &= r^2 + a_4^2 + r_{34}r - r_{Q4}^2.
\end{aligned} \tag{3.5.46}$$

Однако существует возможность весьма экзотического случая, когда в метриках (3.5.46) может иметь место совпадение параметров:

$$a_1 = a_2 = a_3 = a_4, \quad r_{31} = r_{32} = r_{33} = r_{34}, \quad r_{Q1} = r_{Q2} = r_{Q3} = r_{Q4}. \tag{3.5.47}$$

В таком объекте должны быть в среднем полностью скомпенсированы все внешние проявления за исключением внутреннего вращения. Поэтому для внешнего, удаленного наблюдателя такой объект может быть невидимым. Такого рода «невидимка» отчасти, напоминает классическую керровскую «черную дыру», но это совершенно иное вакуумное образование, изучению которого необходимо посвятить отдельное исследование.



www.fractal-recursions.com



www.fractal-recursions.com

Гравитирующие объекты – это сложнейшие перплетения множества субконт-антисубконтных внутривакуунных токов